

ANEXO A. FIGURAS RESULTANTES DE LA SIMULACIÓN

A.1. SUBSISTEMA MPEG-2

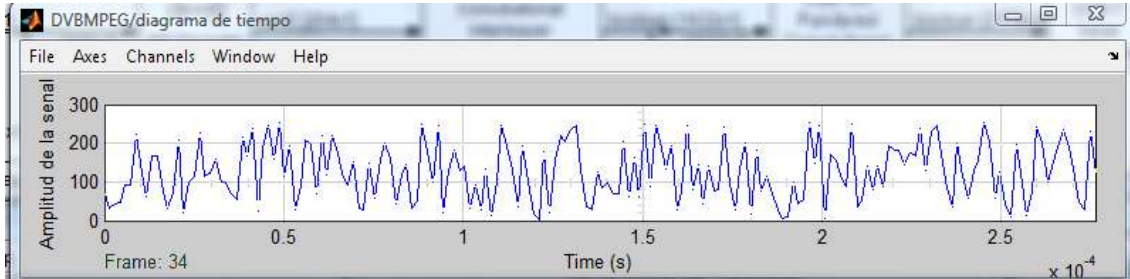


Figura A.1. Señal MPEG-2 del Transmisor

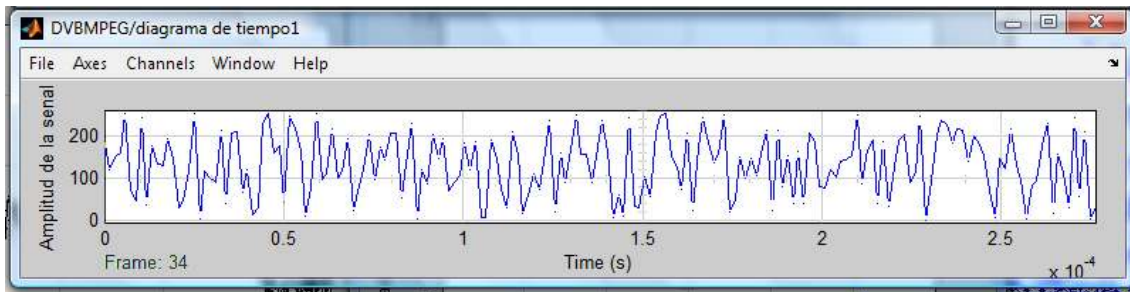


Figura A.2. Señal MPEG-2 del Transmisor

A.2. TRANSMISOR DVB-T

A.2.1 Reed Solomon

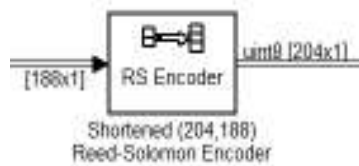


Figura A.3. Reed Solomon Transmisor

A.2.2 Mapeo 64 QAM

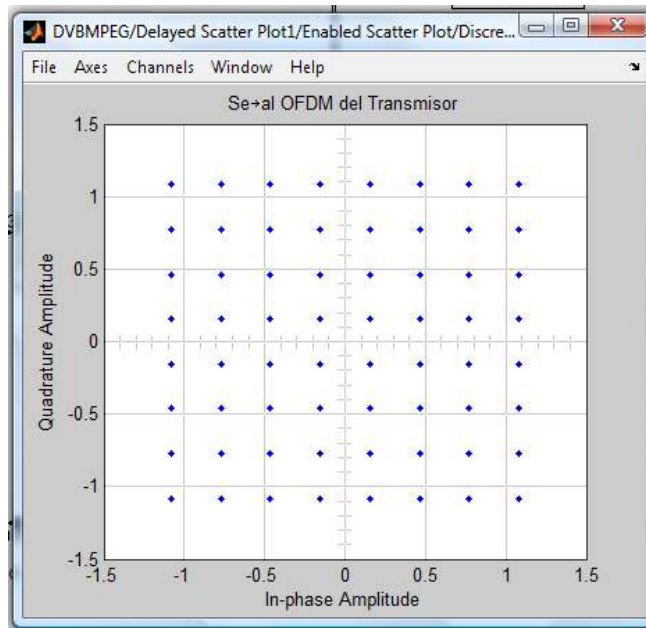


Figura A.4. Diagrama de Constelaciones 64 QAM del Transmisor

A.2.3 Medición de la BER en Reed Solomon, Viterbi

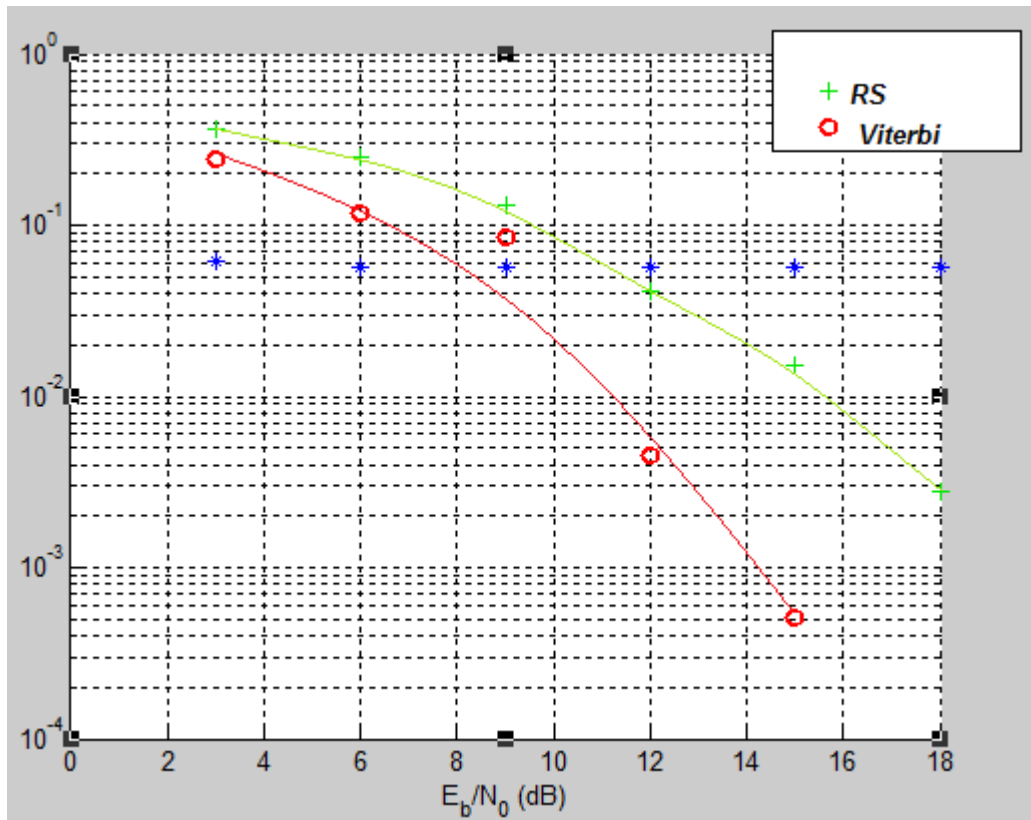


Figura A.5. BER Vs E_b/N_0

A.2.4 Modulación OFDM

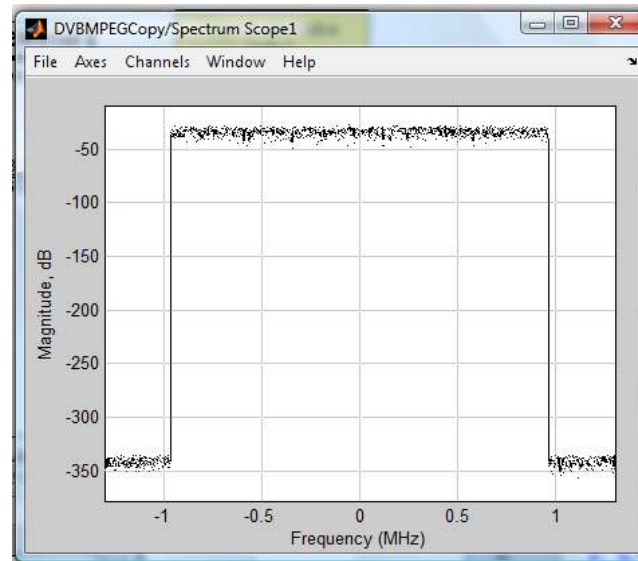


Figura A.6. Espectro OFDM Transmisor

A.2.5 Variaciones SNR

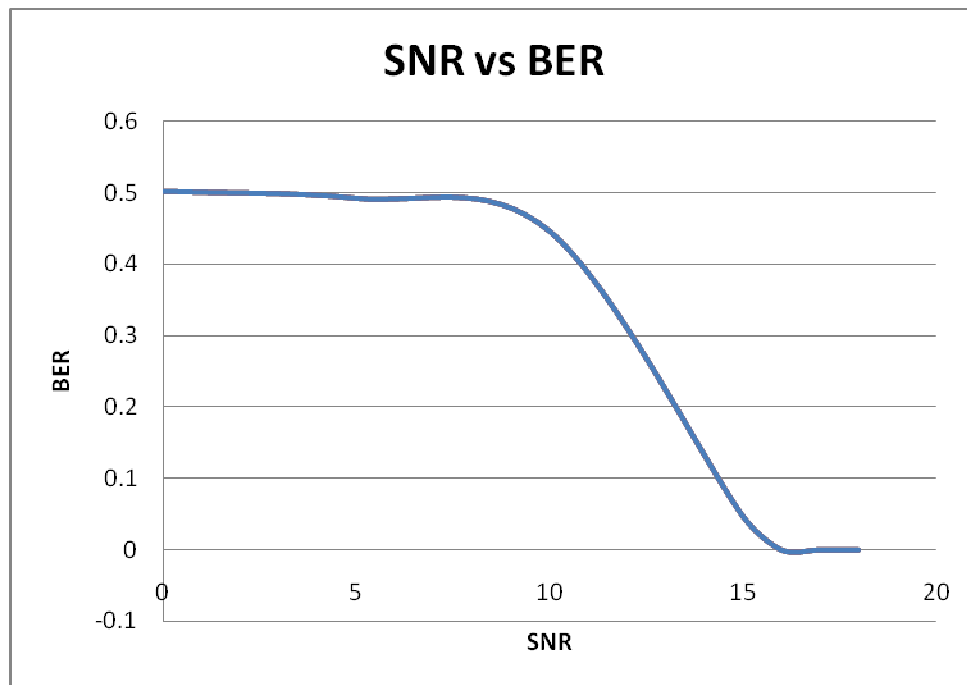


Figura A.7a. SNR Vs BER

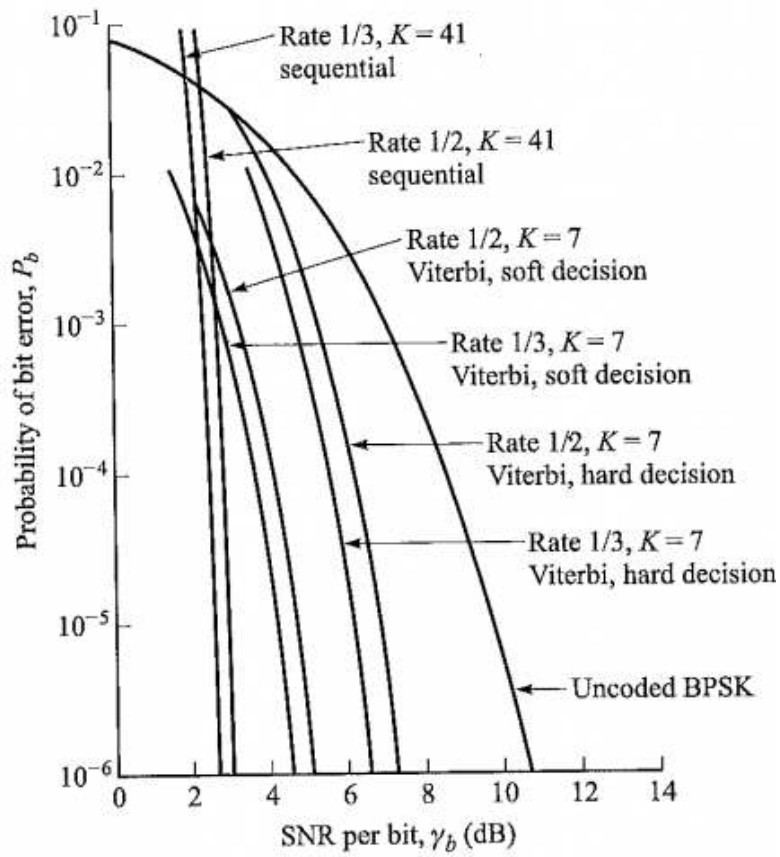


Figura A.7b. SNR Vs BER

A.2.5 Variaciones E_b/N_0

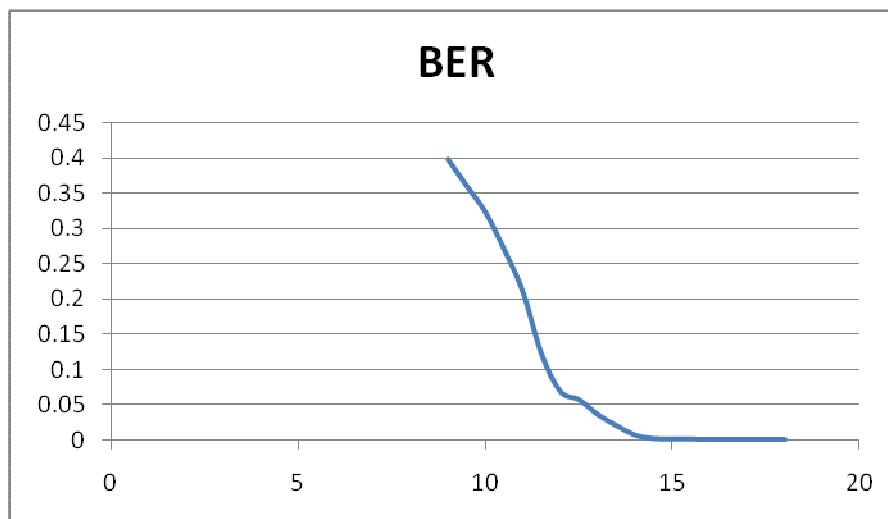


Figura A.8a. E_b/N_0 Vs BER

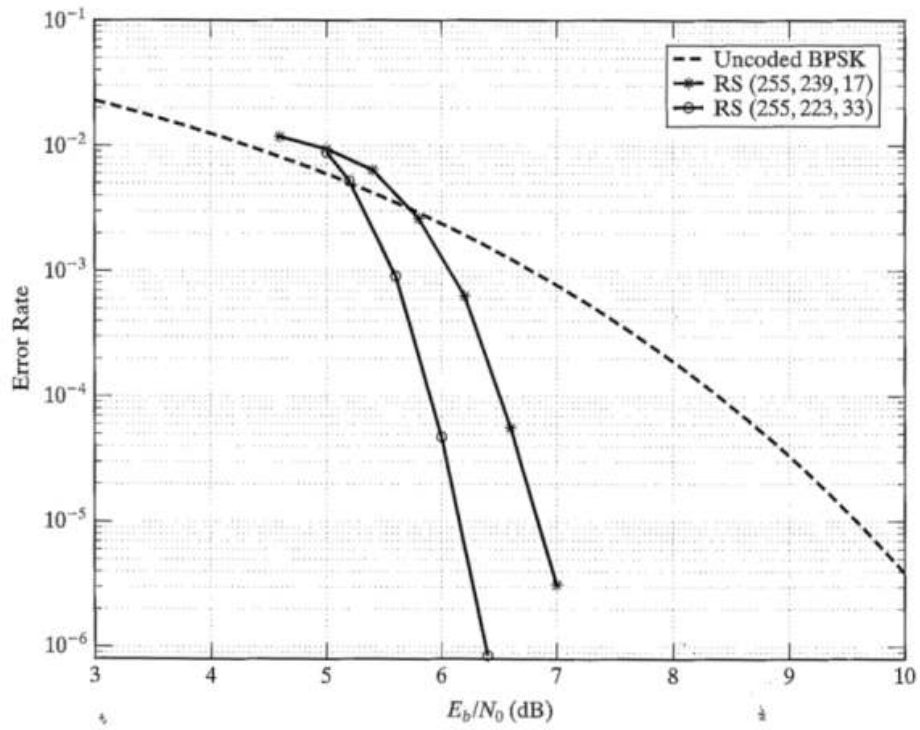


Figura A.8b. E_b/N_0 Vs VER

A.3. RECEPTOR DVB-T

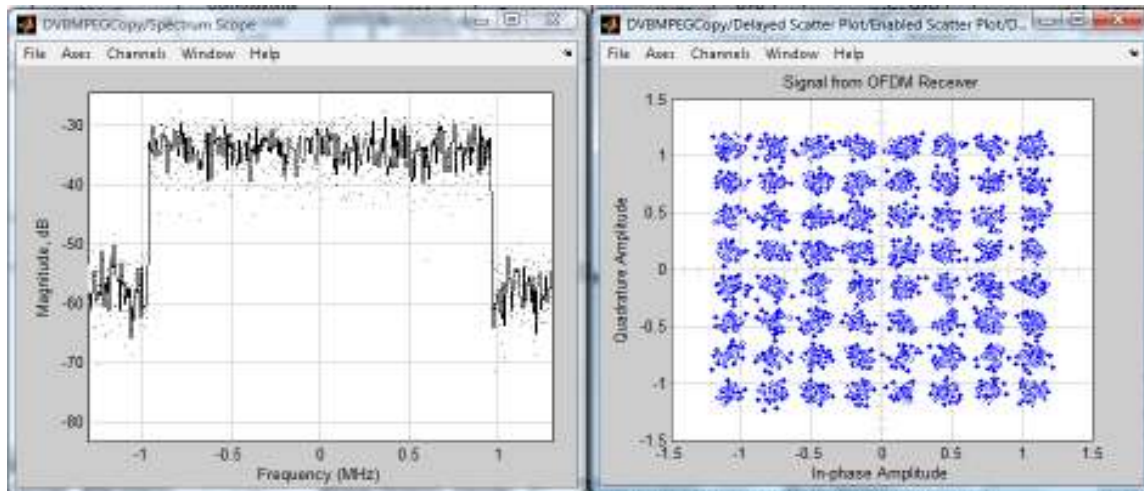


Figura A.9. $E_b/N_0=18$ dB BER= 2×10^{-4} DVB-T

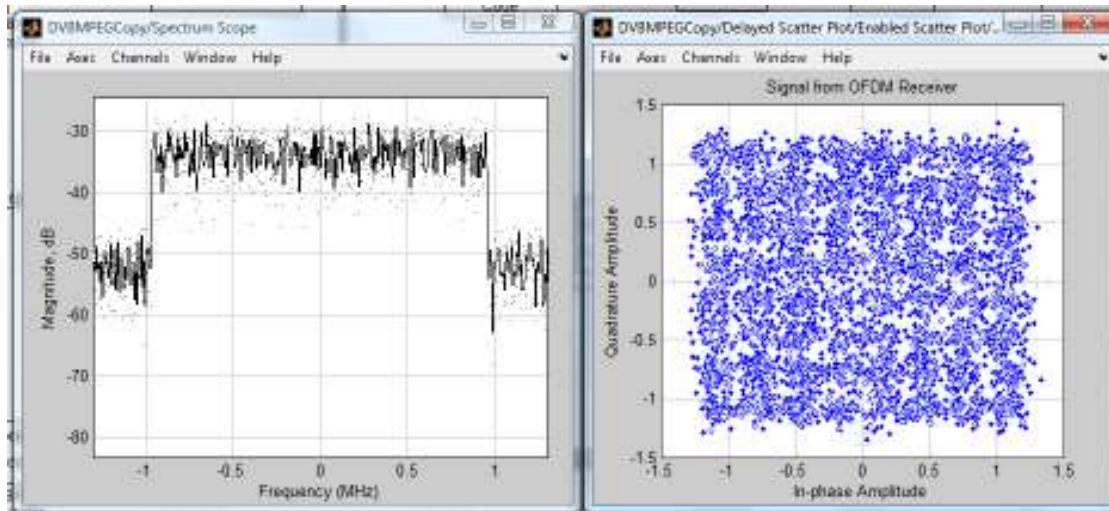


Figura A.10. SNR 16.5dB BER 0.001 DVB-T

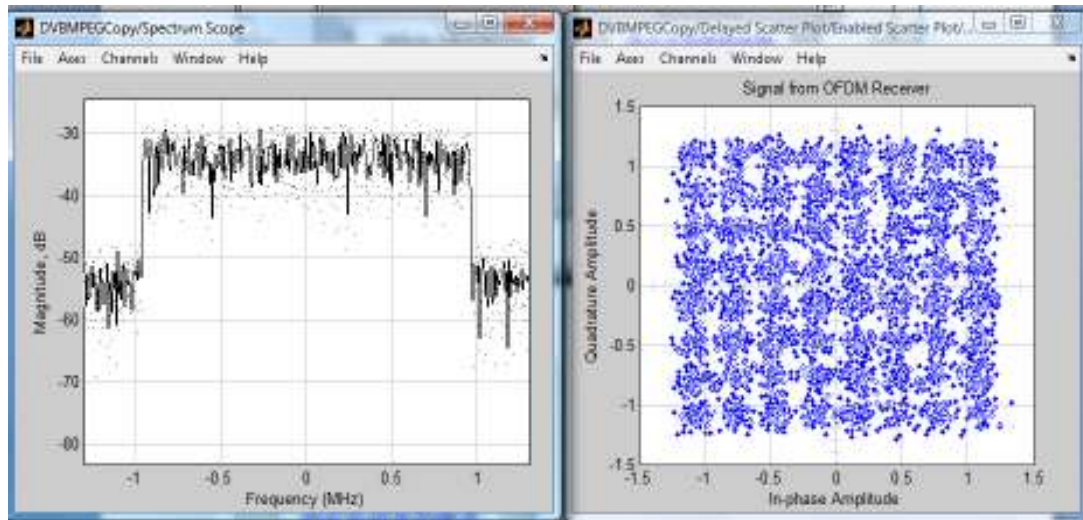


Figura A.11. SNR 17dB BER 0.0008 DVB-T

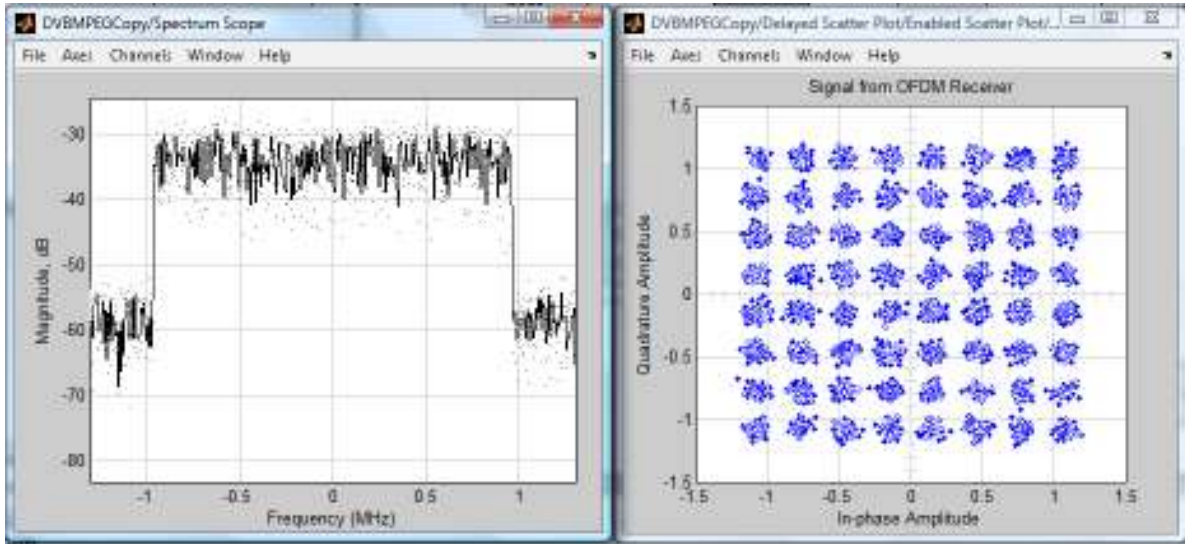


Figura A.12. SNR 18dB y BER 2,2 e -4 DVB-T

A.4. SUBSISTEMA TRANSMISOR DEL ESTÁNDAR ISDB-T

A.4.1. Mapeo 64 QAM

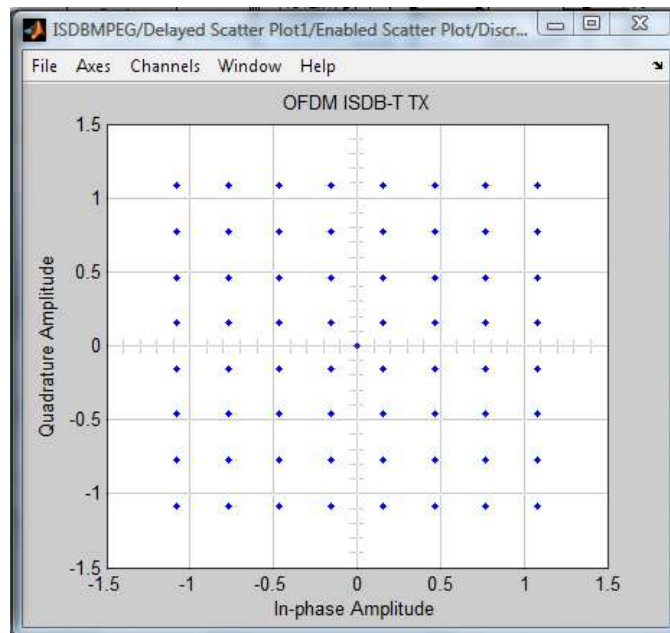


Figura A.13. Diagrama de Constelaciones 64 QAM del Transmisor ISDB-T

3.1.1. Modulación OFDM

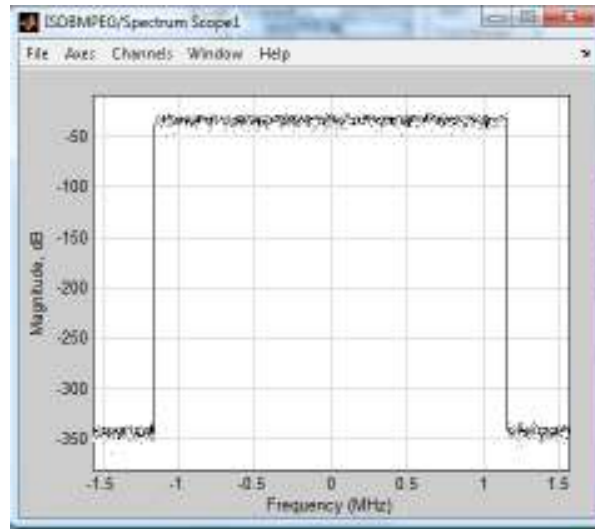


Figura A.14. Espectro OFDM Transmisor ISDB-T

3.1.2. Canal de Transmisión

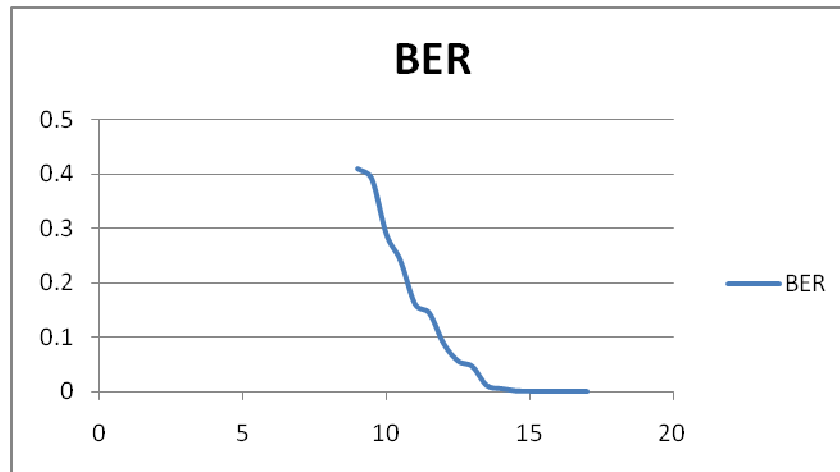


Figura A.15. SNR Vs BER ISDB-T

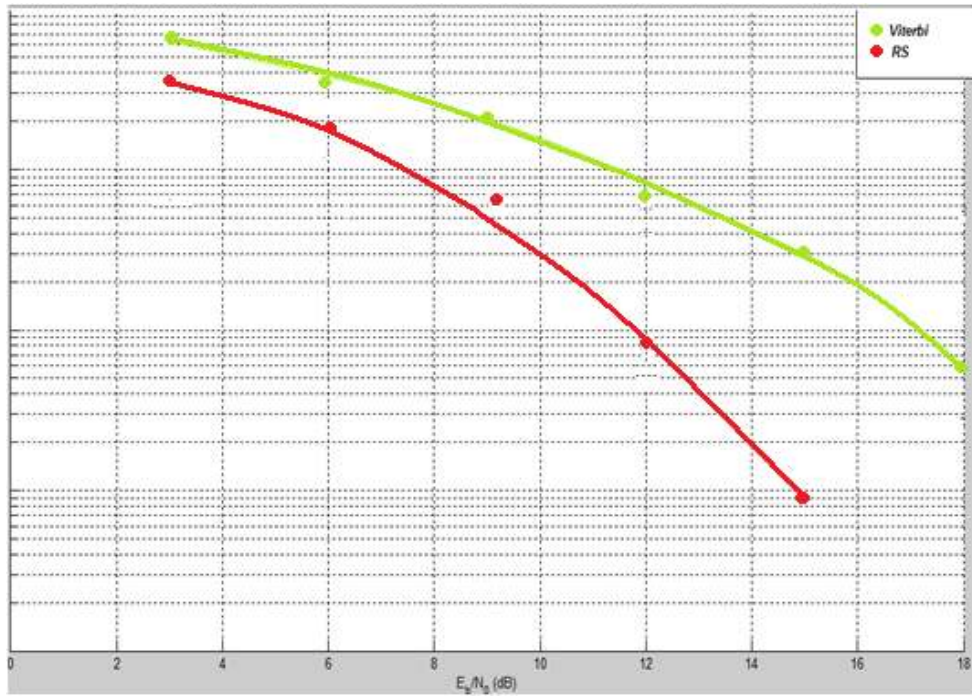


Figura A.16. E_b/N_0 Vs BER ISDB-T

A.5. SUBSISTEMA RECEPTOR DEL ESTÁNDAR ISDB-T

A.5.1 Demodulación OFDM

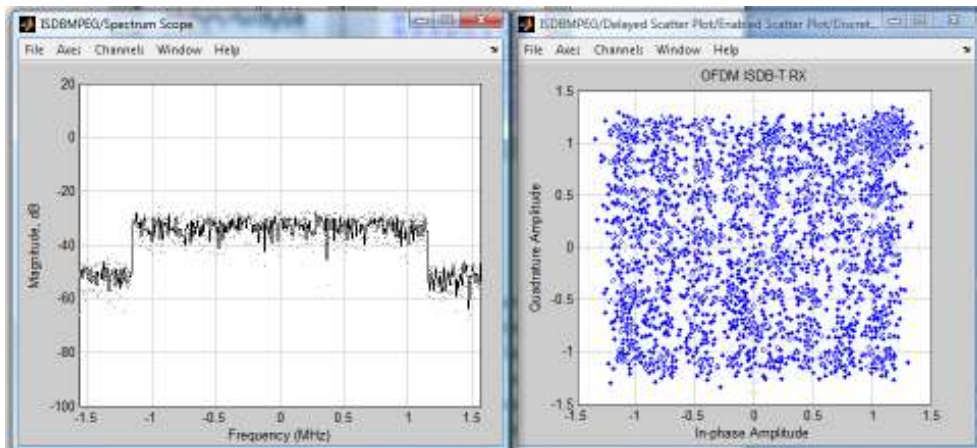


Figura A.17. $E_b/N_0=15,5\text{dB}$ BER= $4,4\text{e-}4$ ISDB-T

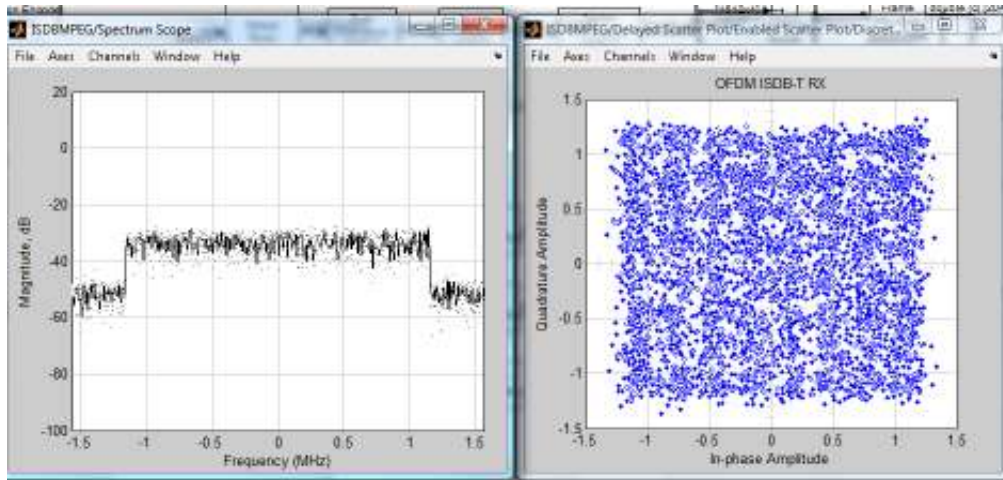


Figura A.18. SNR 18dB y BER 0.0005 ISDB-T

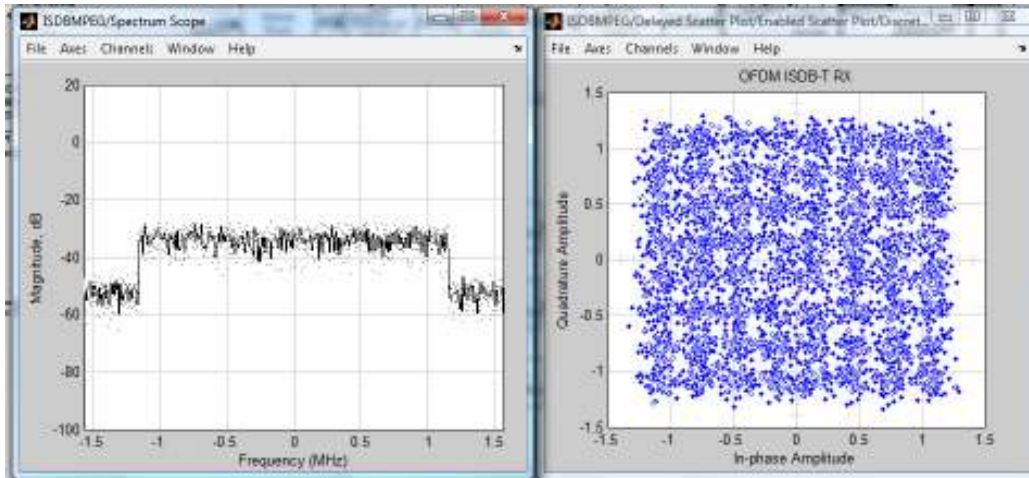


Figura A.19. SNR 19dB y BER 0.00018 ISDB-T